

参考文献

- 1 Rachner TD, Khosla S, Hofbauer LC. Osteoporosis: now and the future [J]. Lancet, 2011, 377 (9773) : 1276 - 1287
- 2 Yaturu S. Diabetes and skeletal health [J]. J Diabetes, 2009, 1 (4) : 246 - 254
- 3 钟卫权. 不同负荷的游泳运动及雌激素对去卵巢大鼠血清 IL - 6、TGF - 1 水平及生化指标的影响 [J]. 医学研究杂志, 2008, 37 (12) : 86 - 88
- 4 牛银玲, 邵小英. 糖尿病性骨质疏松 [J]. 中国骨质疏松杂志, 2007, 13 (2) : 138 - 140
- 5 Shan PF, Wu XP, Zhang H, et al. Age - related bone mineral densi-

ty, osteoporosis rate and risk of vertebral fracture in mainland Chinese women with type 2 diabetes mellitus [J]. J Endocrinol Invest, 2011, 34 (3) : 190 - 196

- 6 Fritton JC, Kawashima Y, Mejia W, et al. The insulin - like growth factor - 1 binding protein acid - labile subunit alters mesenchymal stromal cell fate [J]. J Biol Chem, 2010, 285 (7) : 4709 - 4714
- 7 Merlotti D, Gennari L, Dotta F, et al. Mechanisms of impaired bone strength in type 1 and 2 diabetes [J]. Nutr Metab Cardiovasc Dis, 2010, 20 (9) : 683 - 690

(收稿:2011-06-18)

(修回:2011-07-07)

RhIL - 21 对 NK - 92MI 细胞生物学活性的影响

郑 瑞 陈葆国 颜卫华 李伯利 章卫国 千灵红

摘要 目的 探讨 rhIL - 21 对 NK - 92MI 细胞免疫功能的影响。方法 以不同浓度(25 ~ 100ng/ml)的 rhIL - 21 培养 NK - 92MI 细胞 24 ~ 72h, 观察 NK - 92MI 细胞的增殖。以 50ng/ml 的 rhIL - 21 处理 NK - 92MI 不同时间后, FACS 检测 NK - 92MI 细胞的凋亡, NK - 92MI 细胞表面 NKG2D 受体及胞内颗粒酶 - B 蛋白的表达; 细胞杀伤试剂盒检测 NK - 92MI 细胞对靶细胞 K - 562 的细胞毒效应; RT - PCR 检测 NK - 92MI 受体 NKG2D, 效应分子颗粒酶 - B、穿孔素及细胞因子 IFN - γ 基因 mRNA 的表达; ELISA 检测其分泌 IFN - γ 的水平。结果 RhIL - 21 虽能抑制 NK - 92 MI 细胞的增殖($P < 0.05$), 但不会促进细胞的凋亡($P < 0.05$)。RhIL - 21 能促进 NK - 92MI 细胞穿孔素、IFN - γ、颗粒酶 - B、NKG2D 受体基因及相应蛋白质的表达上调($P < 0.05$)。rhIL - 21 预处理组 NK - 92MI 对 K - 562 细胞的细胞毒效应也明显增强($P < 0.05$)。结论 RhIL - 21 能增强 NK - 92 MI 细胞的细胞毒效应, IL - 21 在肿瘤的免疫治疗中有潜在临床应用价值。

关键词 重组人白细胞介素 - 21 NK - 92MI 细胞 干扰素 - γ NKG2D 颗粒酶 穿孔素

Effect of rhIL - 21 on NK - 92MI Cells. Zheng Rui, Chen Baoguo, Yan Weihua, Li Boli, Zhang Weiguo, Gan Linghong. Taizhou Hospital of Zhejiang Province, Zhejiang 317000, China

Abstract Objective To investigate the effect of rhIL - 21 on NK - 92MI cells. **Methods** Using in vitro cultural experiments, NK - 92MI cells were treated with different concentration of rhIL - 21 and then the proliferation were tested at different time. In addition, after NK - 92MI cells treated with 50ng/ml rhIL - 21 for 48h or 72h, the NK - 92MI cell activity, apoptotic cells, the expressions of NKG2D and granzyme - B was measured using FACS assay. The levels of IFN - γ from the supernatants were detected by ELISA. The expressions of NKG2D, perforin, granzyme - B, and IFN - γ mRNA were determined by RT - PCR. **Results** RhIL - 21 inhibited NK - 92MI cell proliferation. However, rhIL - 21 did not affect cell apoptosis. RhIL - 21 increased the expressions of the effector molecules granzyme - B and IFN - γ as well as activation receptor NKG2D at the mRNA and protein levels. Furthermore, compared with control, rhIL - 21 enhanced the cytotoxicity of NK92 - MI cells against K - 562 target. **Conclusion** RhIL - 21 could enhance the cytotoxicity of NK92 - MI cells possibly by up - regulating the expression of activation and effector molecular, suggesting that IL - 21 might have therapeutically effect to enhance NK cell - mediated antitumour responses.

Key words Recombination human interleukin 21 (rhIL - 21); NK - 92MI cells; Interferon - γ (IFN - γ); NKG2D; Granzyme - B; Perforin

IL - 21 主要是由活化的 CD4⁺ T 细胞和 NKT 细胞分泌, 属于 γc(共同 γ 链)细胞因子家族成员之

一^[1~3]。至今有不少关于白介素(IL) - 21 对鼠和人 NK 细胞生物学调节的研究。曾发现 IL - 21 和 IL - 15 体外共同培养的鼠 NK 细胞, 其增殖受到抑制, IL - 21 也并非 NK 细胞早期成熟必须的细胞因子^[4]。IL - 21 可以通过增强鼠 NK 细胞杀伤活性对 NKG2D

配体阳性的肿瘤细胞有抑制作用,但也有研究表明 IL-21 通过下调人 primary NK 和 CD8⁺ T 细胞表面 NKG2D/DAP10 的表达,而抑制 primary NK 细胞通过 NKG2D 介导的细胞毒作用^[5,6]。可见 IL-21 对 NK 细胞功能的调节可能因种群差异存在差异。因此本文通过 rhIL-21 对 NK-92MI 细胞生物学活性调节的研究,进一步探讨 IL-21 对 NK 细胞的免疫调节作用。

材料与方法

1. 材料:rhIL-21 及 Human IFN-γ Mini ELISA Development Kit 购自美国 PeproTech 公司,细胞毒活性检测试剂盒 CytoTox 96® Non-Radioactive Cytotoxicity Assay 购自美国 Promega 公司,PE 标记鼠 anti-hNKG2D 购自 R&D 公司,TRizol Reagent 购自美国 Invitrogen 公司,Revert Aid™ First Strand cDNA Synthesis Kit 购自加拿大 Fermentas(MBI)公司,凋亡检测试剂盒购自联科生物 AnnexinV/PI apoptosis kit,胎牛血清、新生牛血清、马血清、RPMI-1640 及 α-MEM 基础培养基均购自美国 GIBCO 公司。引物由上海基康是生物技术有限公司合成。NK-92MI 细胞(恶性非霍奇金淋巴瘤患者外周血 NK 细胞系 NK-92 经稳定转染 hIL-2 后得到)及 K-562 细胞(人慢性髓系白血病细胞系)均为本室保存。

2. 细胞培养:NK-92MI 细胞培养:在 α-MEM 培养基中加入终浓度为 12.5% 的胎牛血清和 12.5% 的马血清,于 37℃、含 5% CO₂ 和 95% 湿度的孵箱常规培养;K-562 细胞培养:于 RPMI-1640 培养基中加入 10% 的新生牛血清,常规传代培养。

3. 细胞增殖试验:取处于对数生长状态良好的 NK-92MI 细胞,1200r/min × 4min,离心。PBS 洗 1 次,1ml α-MEM 完全培养基悬起细胞,计数。调整细胞浓度为 1 × 10⁵/ml,备用。按 rhIL-21 药物浓度实验分 4 组,分别为 0ng/ml,25ng/ml,50ng/ml 和 100ng/ml 组。配备含 200ng/ml rhIL-21 的 α-MEM 完全培养基 1ml(取 2μl 100ng/μl 的 rhIL-21 加入到 1ml α-MEM 完全培养基)于 96 孔板实验各孔加入 100μl 的 α-MEM 完全培养基,取含 200ng/ml rhIL-21 的 α-MEM 完全培养基加入到第一组各孔,100 μl/孔。轻混匀后分别取 100 μl/孔加入下一个稀释度的各孔依次倍比 2 稀释,3 复孔/稀释度,取 NK92 MI 细胞悬液 100μl 加入各相应孔。将 96 孔板置 37℃、5% CO₂ 孵箱中培养,分别在 24、48 和 72h 3 个药物培养时间段收集细胞并计数。

4. 细胞毒效应试验:取生长状态良好 NK-92MI 细胞,PBS 洗涤两次后,于 100ml 培养瓶中按 2 × 10⁵ 个/ml 细胞浓度培养,一组加入终浓度为 50ng/ml rhIL-21,一组未加药物,在 37℃、含 5% CO₂ 的孵箱常规培养 48h。收集预处理后细胞,PBS 洗涤 3 次,把两组细胞浓度调为 4 × 10⁶ 个/ml 备用。取 U 型底 96 孔板,按 CytoTox 96® Non-Radioactive Cytotoxicity Assay 试剂盒操作步骤,设靶细胞自然释放孔、培养基背景

孔、靶细胞最大释放孔、体积校正孔及效应细胞自然释放孔。取准备好的 NK-92MI 细胞加入 96 孔板,以倍比稀释法设立 6 个效应细胞浓度梯度,体积 50 μl/孔。再取准备好的生长状态良好的靶细胞 K-562(2 × 10⁵ 个/ml)50 μl 加入到相应各孔,使效靶比分别为 20:1、10:1、5:1、2.5:1、1.25:1 共 5 个浓度梯度,每个梯度 4 个复孔。在 37℃、含 5% CO₂ 的孵箱常规培养 4h 后,以每孔 10 μl 裂解液加入到靶细胞最大释放孔和体积校正孔,再孵育 45min 后,取出 250g × 4min 离心,收集上清 50 μl/孔,移入另一平底 96 孔板,再加入反应液 50 μl/孔,避光室温孵育 30min,490nm 读取吸光度值。通过检测上清中 LDH 含量计算 NK-92MI 对 K-562 细胞的细胞毒活性。细胞毒效应计算公式:细胞毒(%) = (实验组 - 效应细胞自发释放 - 靶细胞自发释放) / (靶细胞最大释放 - 靶细胞自发释放) × 100%。

5. 流式细胞术(FACS)检测:以 50ng/ml rhIL-21 预处理 NK-92MI 细胞 48h,同时设 PBS 对照组(即未加药组)。收集细胞用 PBS 洗涤两次,离心后,用 300 μl PBS 重悬细胞混匀,平分为 3 管,一管加入 anti-IgG-PE/IgG-FITC 同型对照荧光标记抗体,一管加入 anti-Granzyme B-PE 荧光标记抗体,另一管加入 anti-hNKG2D-PE 荧光抗体,室温孵育 30min, PBS 洗涤两次,细胞用 500 μl PBS 悬起,上机分析。同样方法培养细胞 48h 和 72h,按 AnnexinV/PI apoptosis kit 操作步骤检测 rhIL-21 对 NK-92MI 细胞凋亡影响。

6. RT-PCR 检测目的基因的表达:分时收集 50ng/ml 预处理 0、6、12 和 24h 的 NK-92MI 细胞,PBS 洗涤 2 次,细胞计数板计数,每次取同等量细胞,用 TRizol 试剂盒抽取细胞总 mRNA。反转录反应取 2 μl mRNA,总体积为 20 μl,合成 cDNA。PCR 反应体系为 25 μl:2.5 μl 10 × Buffer,1.5 μl 2.5 mmol/L MgCl₂,0.5 μl dNTP,0.5 μl cDNA,各 0.5 μl 上下游引物,0.5 μl Taq DNA 聚合酶,18.5 μl 去离子水。反应条件:94℃ 10min;94℃ 1min、56℃ 45s、72℃ 45s 共 38 个循环;72℃ min;4℃ Hold。取 4 μl PCR 产物用 1.3% 琼脂糖凝胶电泳分析,结果用 Quantity one 软件进行灰度分析,对目的基因进行半定量。各引物如表 1。

表 1 各 PCR 引物序列及扩增片段长度

| 引物 | 序列(5' ~ 3') | 扩增片段长度 (bp) |
|--------------------|-------------------------|----------------|
| IFN-γ Forward | GGCTGTTACTGCCAGGACCCAT | 339 |
| IFN-γ Reverse | TGCTTTGCGTTGGACATTCAAGT | |
| Perforin Forward | TCAGCCTGGGTAAACTCGC | 511 |
| Perforin Reverse | TGCCAAGGAGGTATCGTC | |
| Granzyme B Forward | GCCGACCCAGCAGTTAT | 274 |
| Granzyme B Reverse | TTCGCACCTTCGATCTCC | |
| β-actin Forward | GGCGACGAGGCCAGA | 463 |
| β-actin Reverse | CGATTTCCGCTCGGC | |
| NKG2D Forward | CTGGGAGATGAGTGAATTCATA | 416 |
| NKG2D Reverse | GACTTCACCAGTTAACATC | |

7. ELISA 检测 IFN- γ 的分泌:试验于 96 孔板中进行,检测 50ng/ml rhIL-21 药物在不同时间对 NK-92MI 细胞分泌 IFN- γ 的影响。体积为 200 微升/孔,每个时间梯度(12h,24h 和 48h)3 个复孔,同时设培养基(含 12.5% 胎牛血清和 12.5% 马血清的 α -MEM)和常规 NK-92MI 细胞培养对照组,于 37°C、含 5% CO₂ 的孵箱培养。按 Human IFN- γ Mini ELISA Development Kit 实验步骤进行,检测 490nm 吸光度值。

8. 统计学方法:所有数据均采用 SPSS 13.0 统计软件分析,计量资料描述用均数 \pm 标准差($\bar{x} \pm s$)表示,统计分析前各组数据均进行方差齐性检验,多组间数据比较采用 One-way ANOVA 方差分析,组间两两比较采用 LSD 统计方法,两组间比较采用两组间独立样本 *t* 检验(细胞杀伤实验采用配对资料 *t* 检验),*P* < 0.05 为差异具有显著性。

结 果

1. RhIL-21 对 NK-92MI 细胞增殖的影响:实验数据显示,随培养时间的延长实验组及对照组细胞均有不同程度的增殖(One-way ANOVA 方差分析,结果显示各组 *P* 均 < 0.05)。同时观察到随培养时间的延长各组之间细胞的增殖并不同步,实验组较对照组细胞生长缓慢,特别是在培养 72h 之后,差异更为显著(*P* = 0.000),可见 rhIL-21 抑制了 NK-92MI 细胞的正常增殖,但并未看到呈药物浓度梯度依赖性抑制,统计学显示各实验组之间差别无统计学意义(*P* < 0.05)。结果如表 2 所示。

表 2 不同浓度 rhIL-21 对 NK-92MI 增殖的影响

| 组别 | 不同时期 NK-92MI 细胞数量($\times 10^4/\text{ml}$) | | |
|-------------------------|--|-----------------|------------------|
| | 24h | 48h | 72h |
| 0ng/ml(<i>n</i> = 3) | 5.83 \pm 0.28 | 8.39 \pm 0.40 | 11.84 \pm 0.69 |
| 25ng/ml(<i>n</i> = 3) | 5.94 \pm 0.60 | 7.84 \pm 0.58 | 8.24 \pm 0.80 |
| 50ng/ml(<i>n</i> = 3) | 5.61 \pm 0.38 | 7.42 \pm 0.44 | 7.49 \pm 0.38 |
| 100ng/ml(<i>n</i> = 3) | 5.63 \pm 0.23 | 6.88 \pm 0.44 | 7.25 \pm 0.14 |
| <i>P</i> | 0.704 | 0.051 | 0.000 |

2. rhIL-21 对 NK-92MI 细胞凋亡的影响:鉴于结果 1 所示,不同剂量 rhIL-21 对 NK-92MI 细胞的增殖有不同程度的抑制,我们选择既能发挥药效又不至于过度抑制细胞生长的剂量(50ng/ml)进行后续试验研究。在 50ng/ml rhIL-21 培养 NK-92MI 48h 和 72h 后,Annexin V 和 PI 染色显示,实验组和对照组细胞凋亡率的差别无统计学意义(48h, *P* = 0.947; 72h, *P* = 0.325),且不随培养时间的延长而增加,即 50ng/ml rhIL-21 并未增加 NK-92MI 细胞的凋亡。结果如表 3 所示。

表 3 rhIL-21 对 NK-92MI 凋亡的影响(%)

| 组别 | Annexin V ⁺ /PI ⁺ | | |
|--------------------|---|-----------------|-----------------|
| | 0h | 48h | 72h |
| 实验组(<i>n</i> = 3) | 1.39 \pm 0.51 | 2.11 \pm 1.21 | 2.74 \pm 0.61 |
| 对照组(<i>n</i> = 3) | - | 2.18 \pm 1.35 | 2.04 \pm 0.90 |
| <i>P</i> | | | 0.947 0.325 |

3. rhIL-21 对 NK-92MI 细胞细胞毒效应的影响:以 50ng/ml 浓度的 rhIL-21 预处理 NK-92MI 48h 后,观察 NK-92MI 细胞毒效应的改变。结果显示在效靶比为 5:1、2.5:1、1.25:1 时,50ng/ml 能增强 NK-92MI 细胞的细胞毒活性(*P* < 0.05)。结果如图 1 所示。

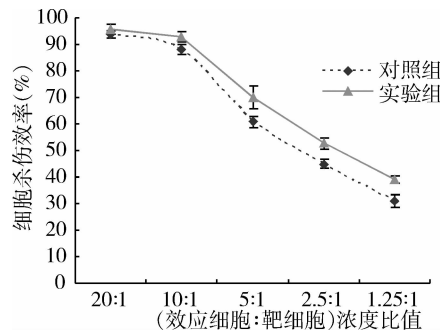


图 1 rhIL-21 对 NK-92MI 细胞毒效应的影响

4. rhIL-21 对 NK-92MI 细胞相关基因表达的影响:RT-PCR 结果显示,50ng/ml rhIL-21 能够促进 NK 细胞细胞毒效应相关基因如颗粒酶-B(274bp)、穿孔素(511bp)、IFN- γ (339bp)以及 NK 细胞表面活化型受体 NKG2D 基因(416bp) mRNA 的表达,且均呈时间依赖性表达增强(*P* < 0.05),见图 2,用 Quantity one 软件分析目的基因与 β -actin 的灰度比值见表 4。

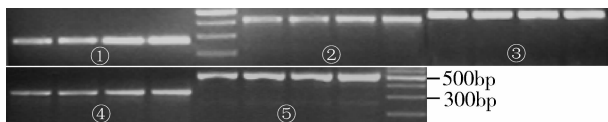


图 2 RT-PCR 鉴定 NK-92MI 细胞活化相关基因表达
①~⑤分别为颗粒酶-B、NKG2D、 β -actin、IFN- γ 及穿孔素基因 mRNA 在 NK-92MI 细胞中的表达,由左至右 4 个泳道分别代表 rhIL-21 培养 0、6、12 和 24h 4 个时间段

5. rhIL-21 对 NK-92MI 细胞表面 NKG2D 受体及胞质颗粒酶-B 蛋白的调节:50ng/ml rhIL-21 处理 NK-92MI 细胞 48h 后,细胞表面 NKG2D 受体的平均荧光强度及胞质颗粒酶-B 蛋白的表达均明显增强(NKG2D, *P* = 0.00; 颗粒酶-B, *P* = 0.00),如图 3 及表 5 所示。

表4 不同时间目的基因的表达量变化

| 组别 | 时间 | | | | P |
|------------|-----------|-----------|-----------|-----------|-------|
| | 0h | 6h | 12h | 24h | |
| IFN-γ(n=3) | 0.20±0.04 | 0.26±0.03 | 0.33±0.03 | 0.52±0.08 | 0.000 |
| 穿孔素(n=3) | 0.34±0.06 | 0.46±0.05 | 0.68±0.15 | 0.92±0.10 | 0.000 |
| 颗粒酶-B(n=3) | 0.30±0.04 | 0.39±0.09 | 0.74±0.11 | 0.92±0.09 | 0.000 |
| NKG2D(n=3) | 0.23±0.03 | 0.29±0.02 | 0.44±0.06 | 0.59±0.03 | 0.000 |

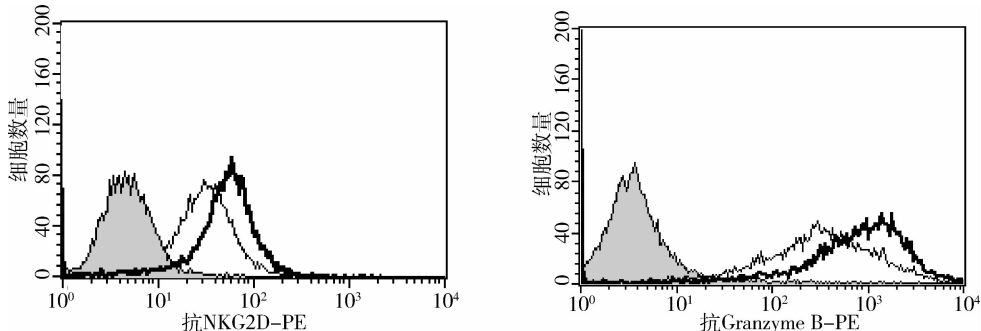


图3 流式细胞术检测NK-92MI细胞表面NKG2D受体及胞内颗粒酶-B的表达

横坐标为荧光强度,纵坐标为细胞数量;“阴影”代表同型对照;“细线”代表rhIL-21处理前;“粗线”代表rhIL-21培养48h后

表5 NKG2D及颗粒酶-B蛋白平均荧光强度的变化

| 组别 | NKG2D 平均荧光强度 | | 颗粒酶-B 平均荧光强度 | |
|----------|--------------|------------|--------------|---------------|
| | 0h | 48h | 0h | 48h |
| 实验组(n=3) | 33.39±2.13 | 58.03±2.46 | 715.15±11.97 | 1075.66±82.63 |
| 对照组(n=3) | - | 31.95±2.02 | - | 726.14±14.88 |
| P | | 0.000 | | 0.002 |

6. rhIL-21 对 NK-92MI 细胞 IFN-γ 分泌的影响:根据 ELISA 标准曲线公式 ($y = 755.81x^2 - 721.46x + 139.66, r^2 = 0.9551$) 计算相应吸光度值对应的 IFN-γ 浓度。随培养时间的延长,两组细胞分泌 IFN-γ 水平均有升高(实验组 $P = 0.000$,对照组 $P = 0.000$)。但与对照组比较,50ng/ml rhIL-21 药物处理组细胞分泌 IFN-γ 的能力在 24h 和 48h 时,均明显高于对照组(24h $P = 0.020$, 48h $P = 0.002$);而在 12h 时两组相比,分泌 IFN-γ 水平无显著性差异($P = 0.173$),如图 4 所示。

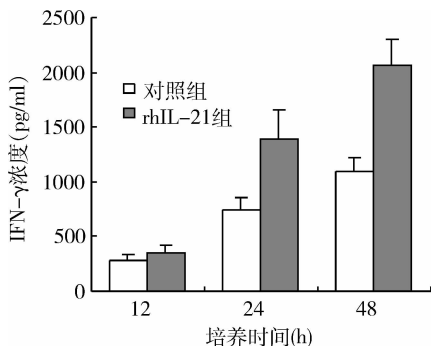


图4 50ng/ml rhIL-21对IFN-γ分泌的影响

讨 论

自 Parrish-Novak 等^[1]报道 IL-21 对 NK 细胞的研究以来,有较多关于 IL-21 对人及鼠 NK 细胞增殖、免疫调节及抗肿瘤效应等各方面的研究。针对 IL-21 对 NK 细胞增殖的研究,有报道表明 IL-21 能抑制 IL-15 或 IL-2 活化的鼠 NK 细胞的增殖,并能促使 NK 细胞通过经典的凋亡途径发生凋亡^[4,7]。虽然种属不同,但与本研究 rhIL-21 能不同程度抑制 NK-92MI 细胞增殖的结果相近。然而这种生长抑制不是 NK-92MI 细胞凋亡率增加的结果,本研究并未发现 rhIL-21 培养组和对照组在 NK-92MI 生长 48h 后,Annexin V⁺/PI⁺ 双阳性细胞百分率的差异。这同 Skak 等^[8]报道的,IL-21 能促进人外周血纯化的 NK 细胞的存活率结果相吻合,或者至少证明了 IL-21 不会促进人 NK 细胞的凋亡。

作为具有天然抗肿瘤活性的 NK 细胞,其细胞毒效应可受多种细胞因子的调节。研究 IL-21 对 NK 细胞细胞毒效应的影响,是 IL-21 对 NK 细胞各种免疫调节的综合体现。本研究结果表明 50ng/ml 浓度的 rhIL-21 均能显著增强 NK-92MI 细胞对靶细

胞 K - 562 的细胞毒效应,这与 Skak 等^[8]的研究结果一致,尽管也有其他研究结果与此不同,但多数研究支持 IL - 21 能增强 NK 细胞细胞毒效应的结论^[5~8]。传统理论认为 NK 细胞的活化是细胞表面活化型受体和抑制型受体综合作用的结果,因此本实验分别从基因和蛋白质水平上检测了 rhIL - 21 对 NK - 92MI 细胞表面主要活化型受体 NKG2D 的调节。结果表明,50ng/ml 的 rhIL - 21 能逐渐增强 NKG2D 基因 mRNA 的表达,并能显著增强培养 48h 后 NK - 92MI 细胞表面 NKG2D 受体的平均荧光强度。Skak 等^[8]报道 IL - 21 能增强外周血单个核细胞中 NK 细胞表面细胞毒效应受体 NKp46、活化型受体 NKG2D 及抑制型受体 CD94 和 NKG2A 不同程度的表达上调,而最终表现为细胞毒活性的增强。而 Burgess 等^[6]曾报道 IL - 21 通过下调纯化人 primary NK 细胞表面 NKG2D/DAP10 的表达,而抑制 primary NK 细胞通过 NKG2D 和其配体介导的细胞毒活性。这种结果的差异是否由不同细胞系造成?有待于体内实验或更多实验进一步验证。

RT - PCR 结果显示 IFN - γ、穿孔素及颗粒酶的表达随 rhIL - 21 培养时间的延长而逐渐增强,且 IFN - γ 的分泌及颗粒酶蛋白表达水平也明显增强。这进一步验证了 NK - 92MI 被 rhIL - 21 活化后细胞毒效应的增强机制。IFN - γ 是在细胞免疫中发挥关键调节作用的细胞因子,显然 rhIL - 21 促进 NK - 92MI 细胞分泌的 IFN - γ,进一步增强了细胞免疫能力。这有利于在肿瘤免疫中机体抗肿瘤免疫的能力,但也可能导致机体过度免疫而产生自身免疫性疾病。当然机体的免疫平衡的维持靠复杂的细胞因子网络的调节。曾有研究表明高浓度的 IFN - γ 能下调人 NK 细胞活化型受体 NKG2D 基因及蛋白水平的表达,IL - 21 可以通过对转录因子 Eomesodermin 的抑制而下调 CD4⁺ T 细胞分泌 IFN - γ 能力。

(上接第 74 页)

- 5 Farrugia AN, Atkins GJ, To LB, et al. Receptor activator of nuclear factor - κB ligand expression by human myeloma cells mediates osteoclast formation in vitro and correlates with bone destruction in vivo [J]. Cancer Res, 2003, 63(17):5438~5445
- 6 Nicola Giuliani, Simona Colla, Francesca Morandi, et al. Lack of receptor activator of nuclear factor - κB ligand (RANKL) expression and functional production by human multiple myeloma cells [J]. Haematologica, 2005, 90(2):275~278
- 7 Pearse RN, Sordillo EM, Yaccoby S, et al. Multiple myeloma disrupts the TRANCE/osteoprotegerin cytokine axis to trigger bone destruction and promote tumor progression [J]. Proc Natl Acad Sci USA,

通过本实验的研究,进一步认识了 IL - 21 对人 NK 细胞免疫调节作用,然而对单纯的体外实验和细胞系研究并不能模拟人体复杂的微环境,实验结果不能完全揭示疾病状态下 IL - 21 对 NK 细胞的调节。因此通过对自身免疫性疾病或肿瘤患者机体免疫状态的检测、细胞因子的分析及精细的体内实验的研究,观察 IL - 21 在相关疾病中所扮演的角色,将对全面认识 IL - 21 生物学活性非常重要。

参考文献

- 1 Parrish - Novak J, Dillon SR, Nelson A, et al. Interleukin 21 and its receptor are involved in NK cell expansion and regulation of lymphocyte function [J]. Nature, 2000, 408(6808):57~63
- 2 Coquet JM, Kyriassoudis K, Pelleci DG, et al. IL - 21 is produced by NKT cells and modulates NKT cell activation and cytokine production [J]. J Immunol, 2007, 178(5):2827~2834
- 3 Habib T, Senadheera S, Weinberg K, et al. The common gamma chain (gamma c) is a required signaling component of the IL - 21 receptor and supports IL - 21 - induced cell proliferation via JAK3 [J]. Biochemistry, 2002, 41(27):8725~8731
- 4 Kasai MT, Whitters MJ, Carter LL, et al. IL - 21 limits NK cell responses and promotes antigen - specific T cell activation: a mediator of the transition from innate to adaptive immunity [J]. Immunity, 2002, 16(4):559~569
- 5 Takaki R, Hayakawa Y, Nelson A, et al. IL - 21 enhances tumor resection through a NKG2D - dependent mechanism [J]. J Immunol, 2005, 175(4):2167~2173
- 6 Burgess SJ, Marusina AI, Pathmanathan I, et al. IL - 21 down - regulates NKG2D/DAP10 expression on human NK and CD8 + T cells [J]. J Immunol, 2006, 176(3):1490~1497
- 7 Brady J, Hayakawa Y, Smyth MJ, et al. IL - 21 induces the functional maturation of murine NK cells [J]. J Immunol, 2004, 172(4):2048~2058
- 8 Skak K, Frederiksen KS, Lundsgaard D. Interleukin - 21 activates human natural killer cells and modulates their surface receptor expression [J]. Immunology, 2008, 123(4):575~583

(收稿:2011-05-20)

(修回:2011-07-07)

2001, 98(20):11581~11586

- 8 D. L. Lacey, E. Timms, H. L. Tan, et al. Osteoprotegerin Ligand Is a Cytokine that Regulates Osteoclast Differentiation and Activation [J]. Cell, 1998(93):165~176
- 9 Chesneau V, Becherer JD, Zheng Y, et al. Catalytic properties of ADAM19 [J]. J Biol Chem, 2003, 278(25):22331~22340
- 10 Atsuhiko Hikita, Ikuo Yana, Hideyoshi Wakeyama, et al. Negative Regulation of Osteoclastogenesis by Ectodomain Shedding of Receptor Activator of NF - κB Ligand [J]. The Journal of Biological Chemistry, 2006, 281(48):36846~36855

(收稿:2011-07-05)

(修回:2010-07-15)